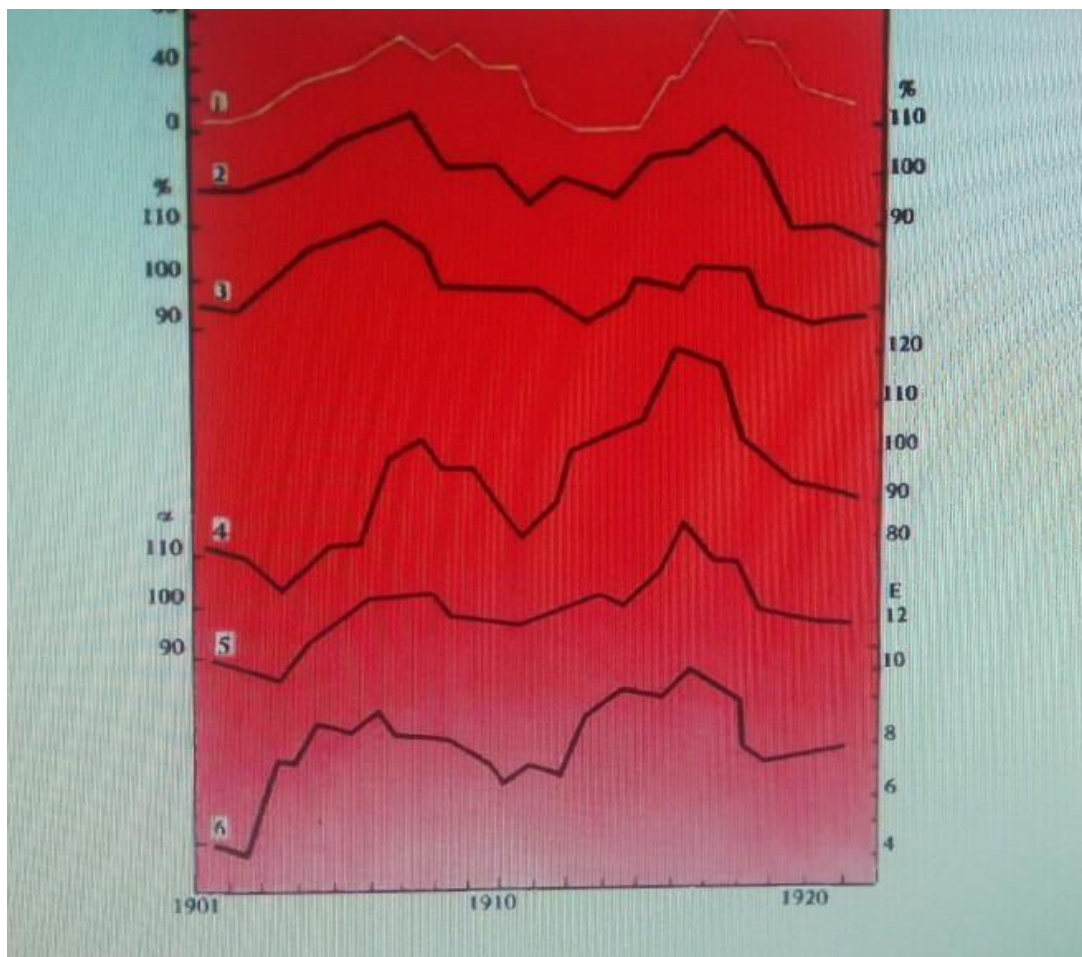


# Александр Леонидович Чижевский (1897 — 1964)

Подготовил Выползов М.,  
ББ-405, 09. 09. 2019

*Что человеку гибель мироздания —  
Пусть меркнет неба звездная порфира:  
Страшитель же иного угасанья:  
Мрак разума ужасней мрака мира!*





**Рисунок 1. Напряжение электрического поля атмосферы в различных участках земного шара (кривые 2—5), солнцедетельность (кривая 1) и земной магнетизм (кривая 6) (по Л. Бауэру)**

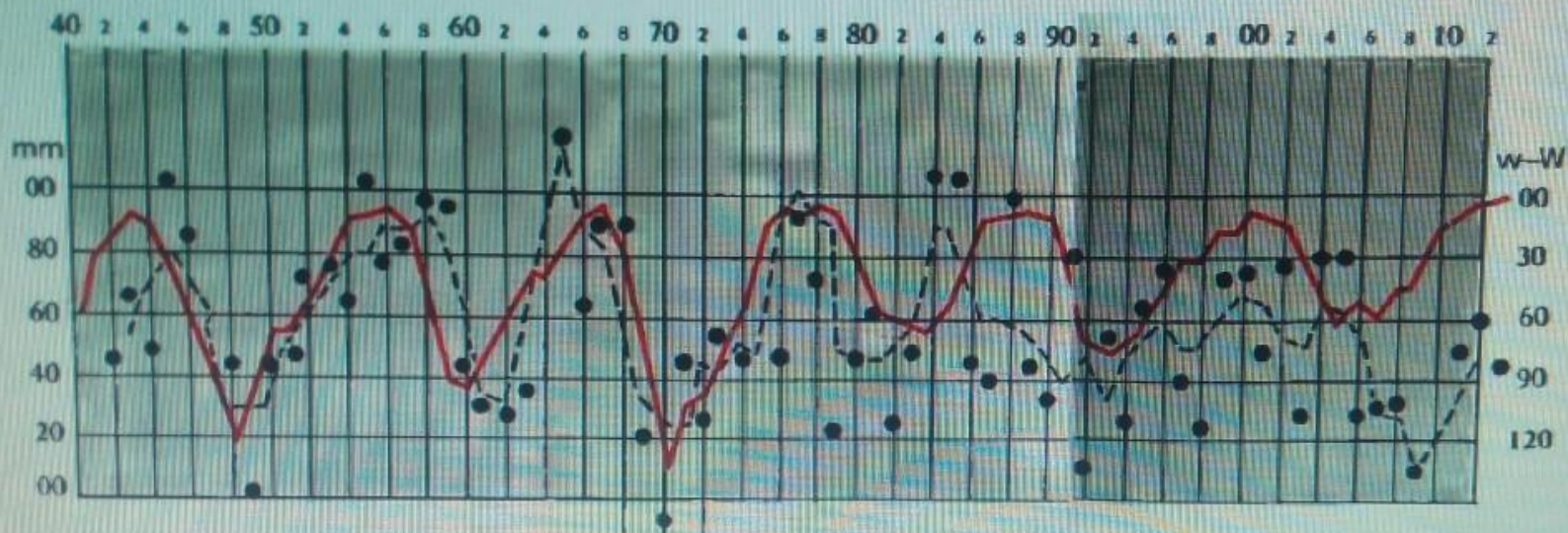


Рисунок 13. Вековой ход с 1840 по 1912 г- числа солнечных пятен и давление воздуха в Мадрасе, красная кривая — число солнечных пятен (кривая дана зеркально), пунктирная кривая — сглаженный ход давления воздуха в Мадрасе, черные кружки — средние годовые давления воздуха (по Е.Е. Федорову)



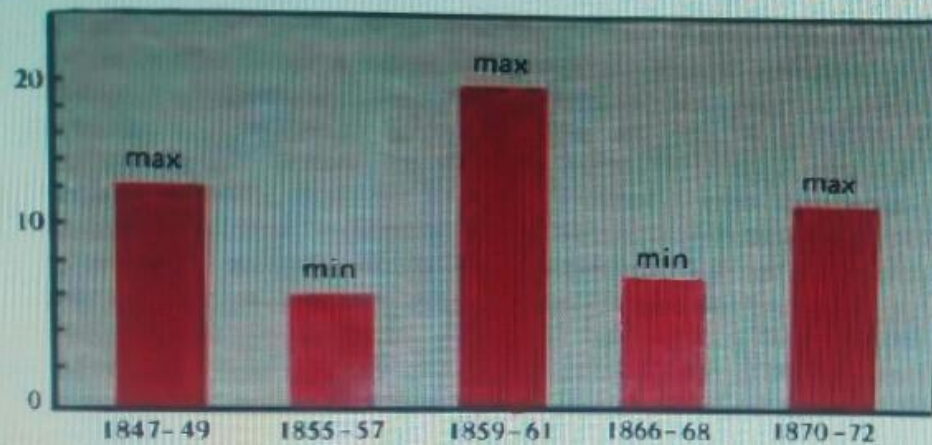


Рисунок 14. На максимум солнцедетельности падают максимумы циклонов и Индийском океане. На минимумы солнцедетельности приходятся минимумы циклонов (по Мелдруну).

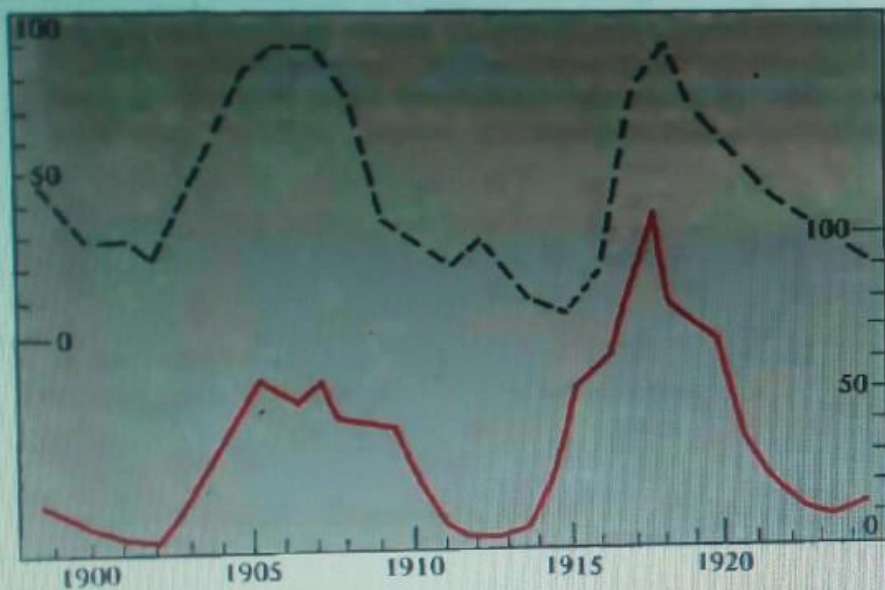


Рисунок 15. Нижняя кривая — солнечные пятна с 1899 по 1924 г. Верхняя кривая — частота бурь на озере Байкал (данные обсерватории в Иркутске)

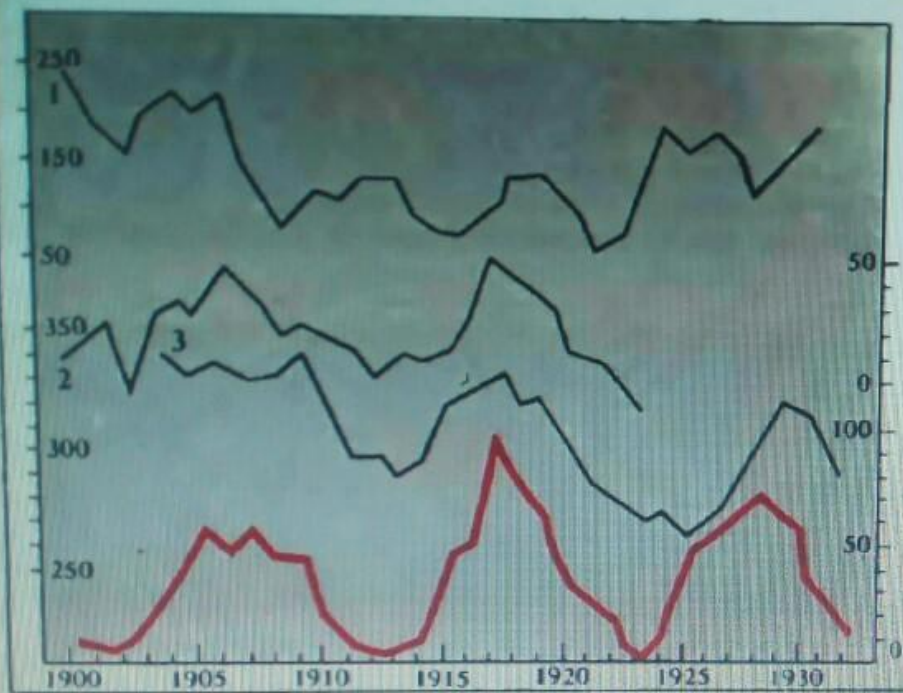


Рисунок 16. Нижняя кривая — солнечные пятна. 1-я кривая — уровень Ладожского озера; 2-я кривая — уровень озера Виктория; 3-я кривая — уровень Каспийского моря (по Д. О. Святскому и Л. С. Бергу).



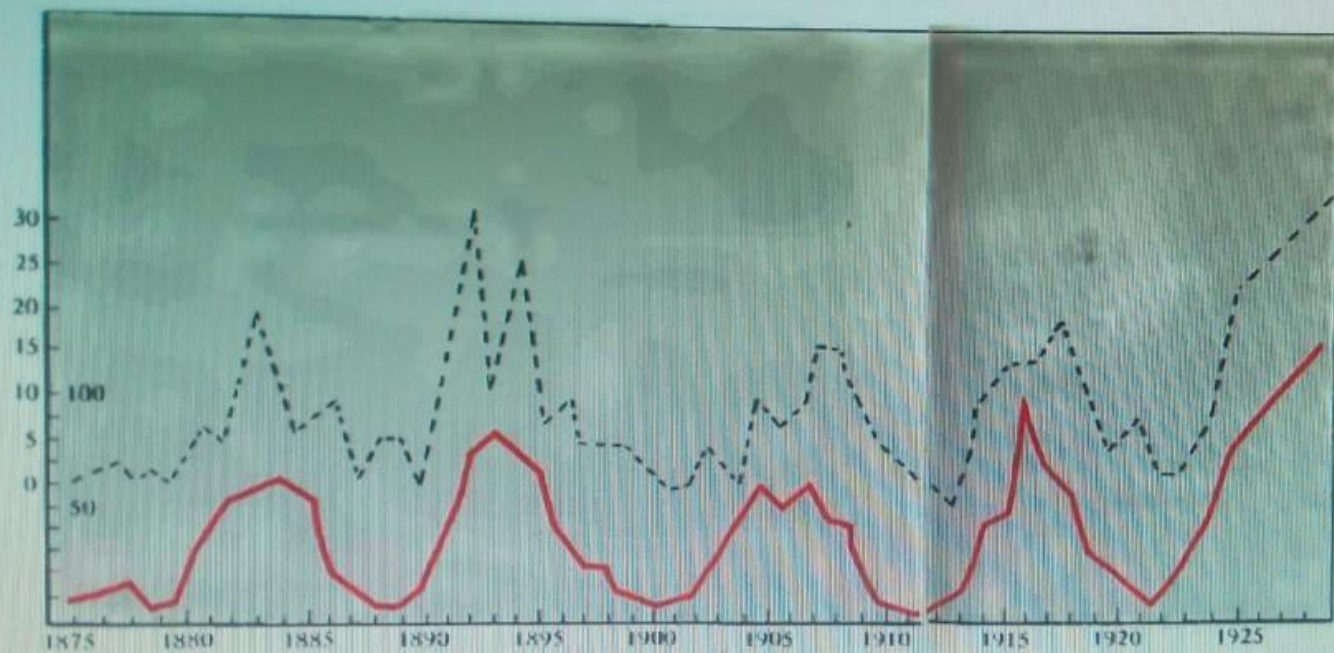


Рисунок 19. Нижняя кривая — солнечные пятна с 1875 по 1925 г. (площади пятен). Верхняя кривая — интенсивность магнитных бурь за то же время (по данным обсерватории в Гринвиче). Следует обратить внимание на небольшие скачки кривой магнитных бурь в годы минимумов солнечных пятен



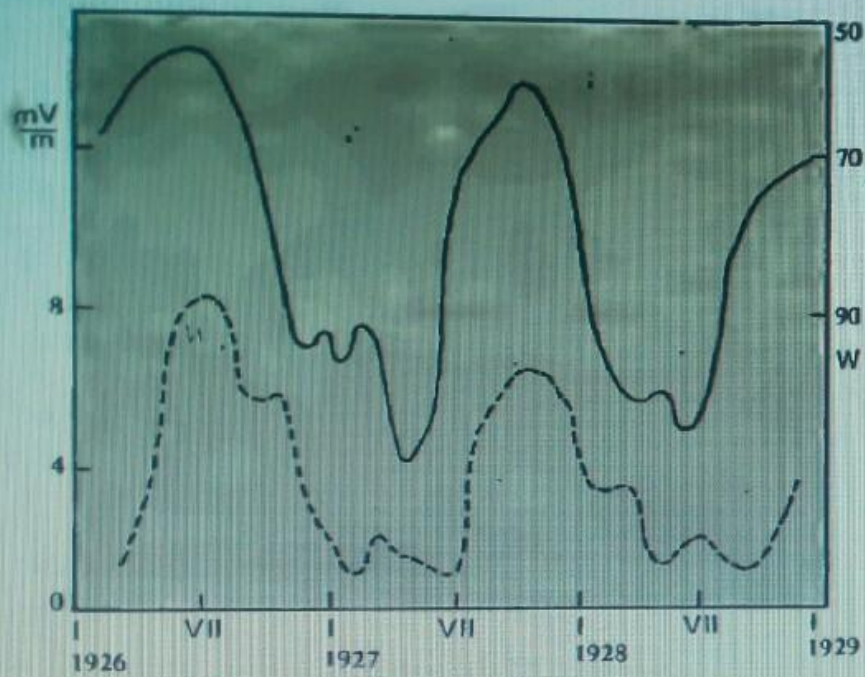


Рисунок 22. Верхняя кривая — число солнечных пятен (кривая изображена зеркально). Нижняя кривая — результаты радиоизменений. Чертеж показывает, что чем интенсивнее деятельность Солнца, тем хуже условия радиопередач (по Стетсону)

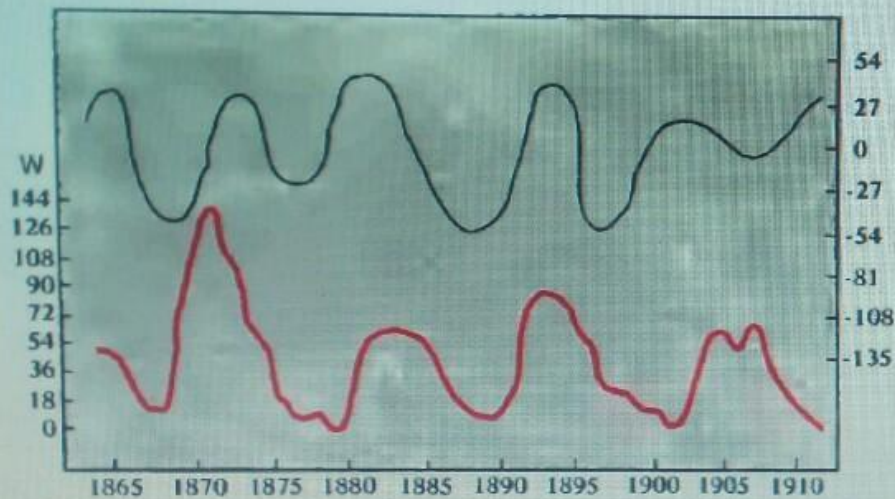


Рисунок 23. Нижняя кривая — солнечные пятна. Верхняя кривая — урожай в США с 1865 по 1911 г. (по Семенову)



Рис. 1. Лаборатория аэроионизации в 1918—1922 гг.



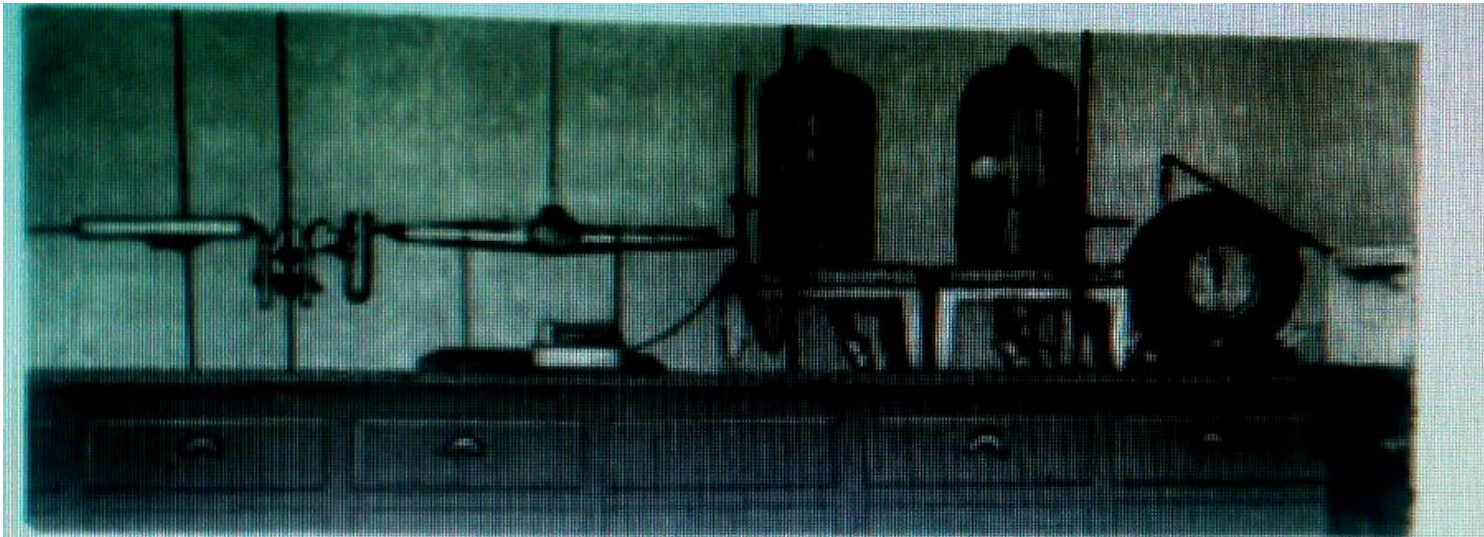
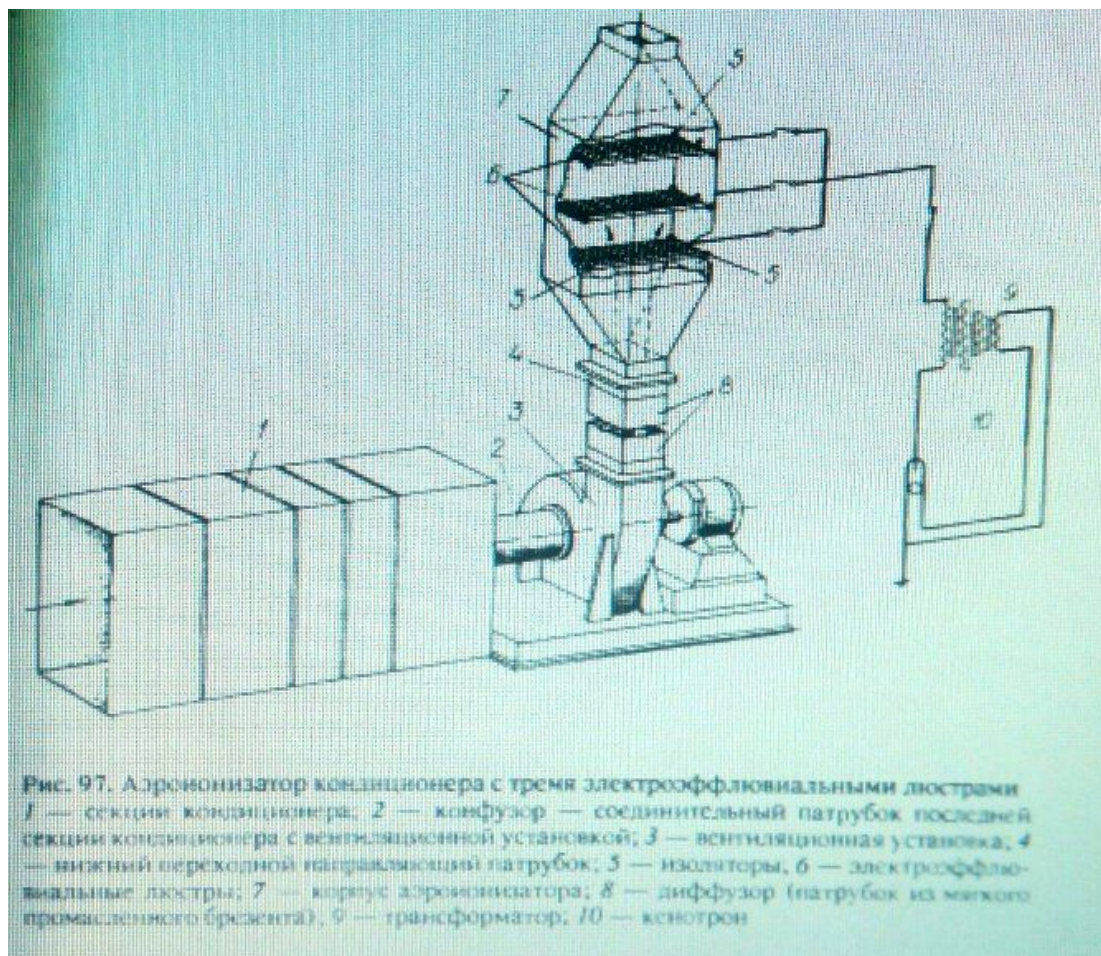


Рис. 71. Две герметические установки для исследования влияния на животных дез-ионизированного, а затем ионизированного воздуха с помощью электрофлюквильного дорезонанзатора (Лаборатория кафедры общей и экспериментальной гигиены 3-го Московского медицинского института).





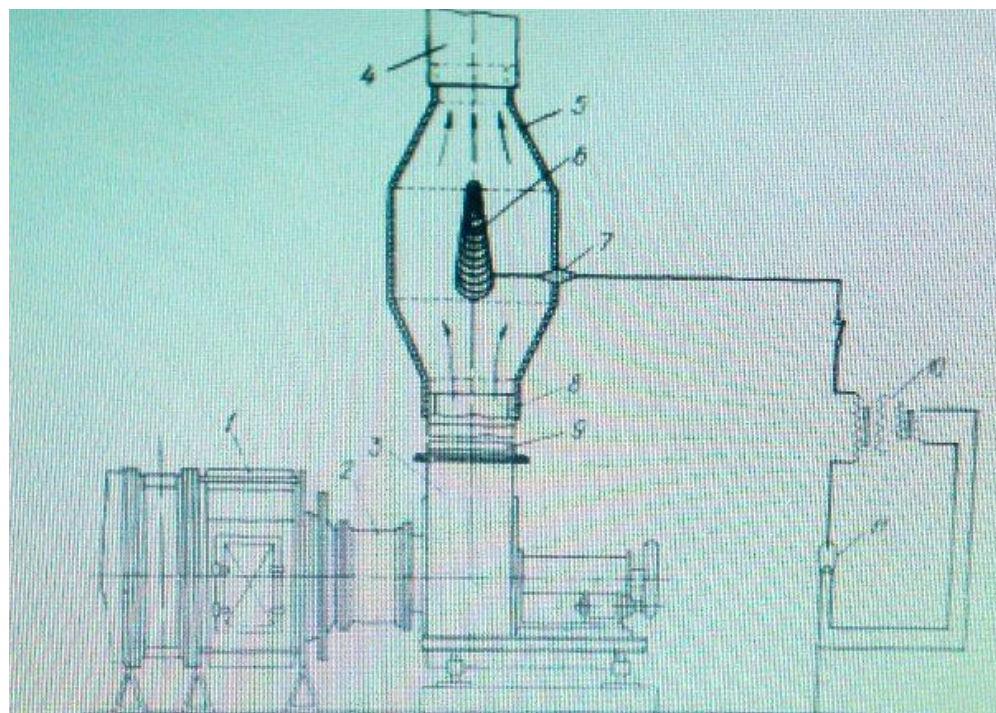


Рис. 96. Облучаемый высоковольтный ионизатор кондиционера  
 1 — стеклокоронизатора (короновыверст); 2 — диффузор — соединительный патрубок  
 последних секций конденсатора с ионизирующей установкой; 3, 4 и 8 — соответственно  
 верхний и нижний переходный патрубки; 5 — корпус ионизатора; 6 — облучаемый  
 высоковольтный электрод; 7 — проходной изолятор; 9 — диффузор; патрубок из  
 мягкой проволочной сетки (брезента); 10 — трансформатор; 11 —  
 панель управления

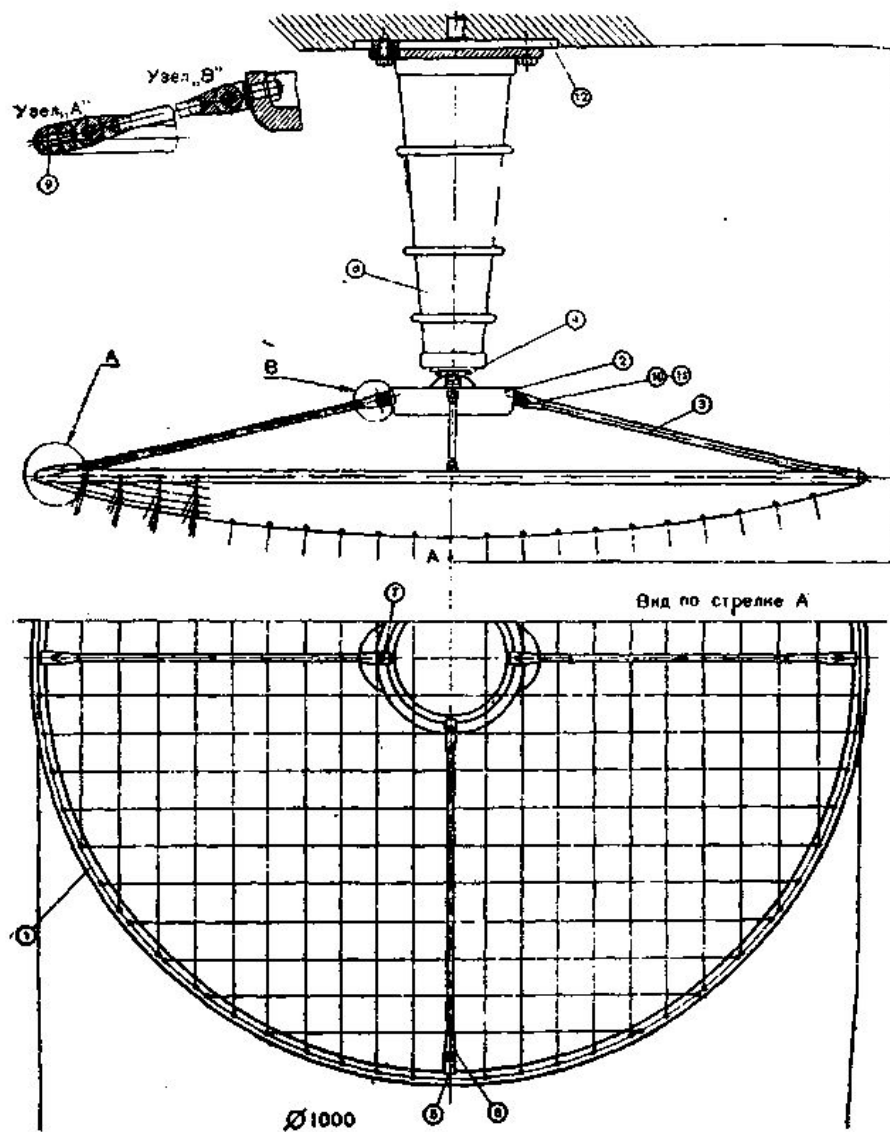


Рис. 47а. Схема электроэфлювиальной люстры типа ЭЭФФ-5:

1 — обод электроэфлювиальной люстры; 2 — держатель; 3 — растяжка; 4 — планка держатель; 5 — хомут; 6 — хомут наружный; 7 — хомут; 8 — высоковольтный изоля тор; 9 — стопорный винт; 10 и 11 — винты; 12 — крепление к потолку.

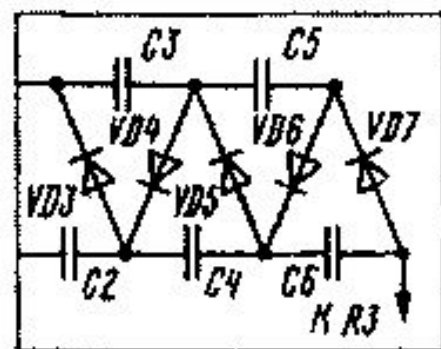
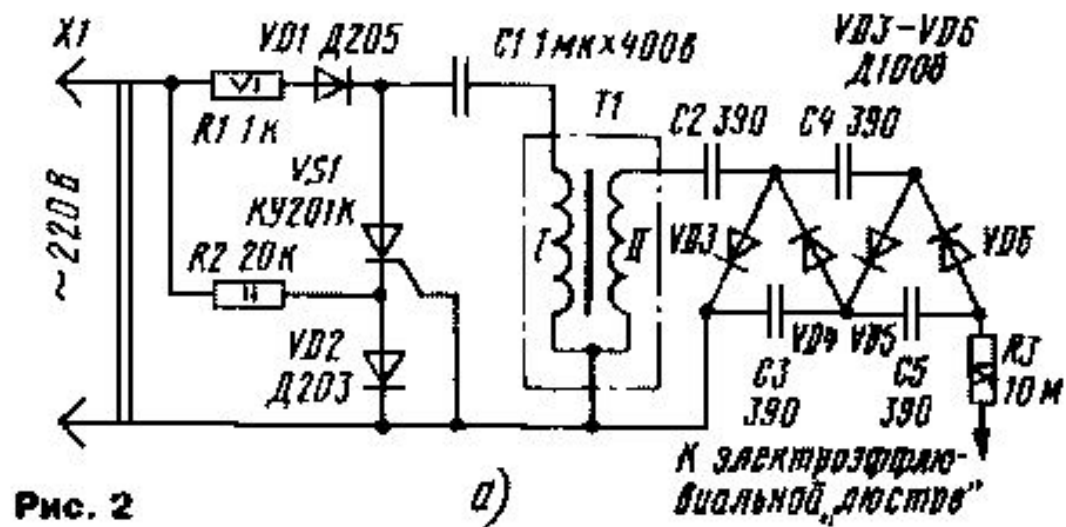


Рис. 2





Рис. 115. Высокодисперсная кварцевая пыль во взвешенном состоянии (слева) и коагуляция капельчатых частиц этой пыли под действием аэрионного потока отрицательной полярности с электрооффлювальной люстры (справа) (по Н.Д. Киселеву)

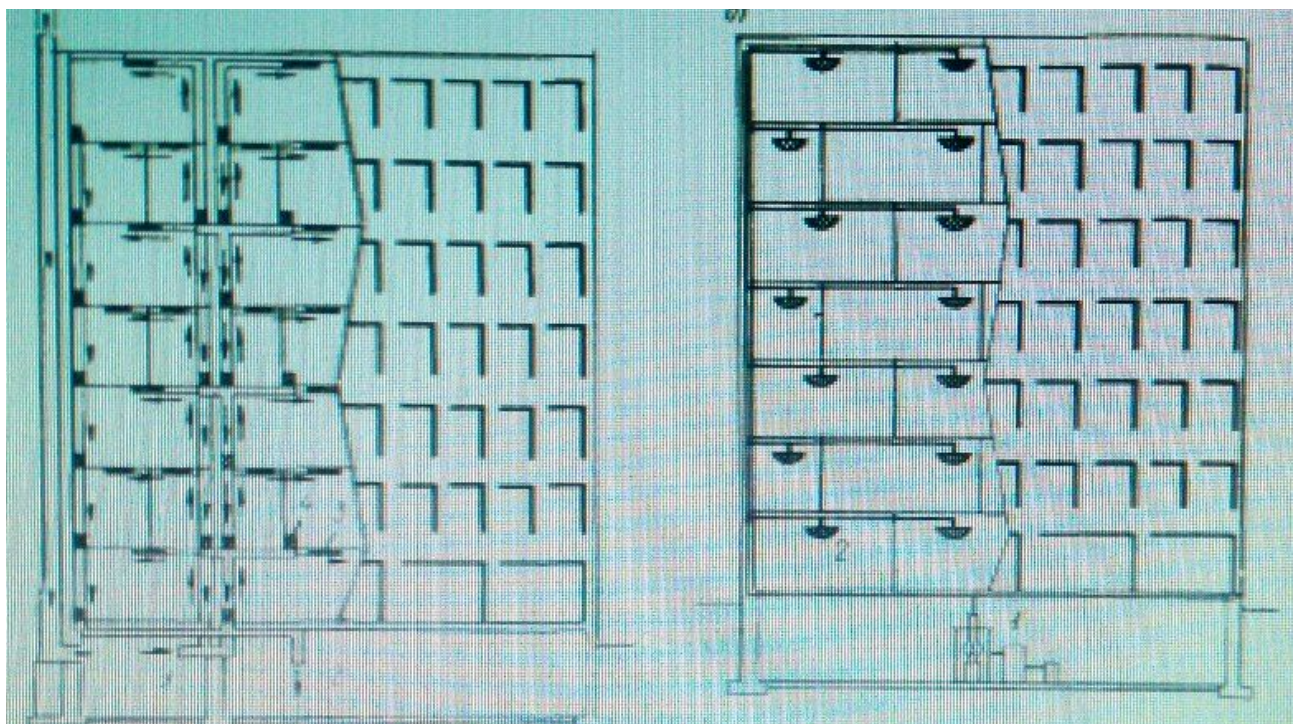


Рис. 98. Схематический разрез аэроионизированного здания

*а* — с гидрокислородной: 1 — труба, подающая гидрокислородные ионы; 2 — вытяжная труба; 3 — приточная вентиляция; 4 — вытяжка воздуха; *б* — с высоковольтной выпрямительной установкой: 1 — собственно установка; 2 — электрофлюоридная люстра



# И снова осень. Акварель , 1954

Г.



# Холодная осень. Первый снег. Акварель, 1953 г.





# Журавли улетают. Акварель , 1941 г.





**Спасибо за внимание**